

Math-Net.Ru

Общероссийский математический портал

П. З. Луговой, В. Ф. Мейш, Уточненная модель дискретно подкрепленных пластин и оболочек при нестационарных нагрузках, *Исслед. по теор. пластин и оболочек*, 1992, выпуск 25, 14–20

Использование Общероссийского математического портала Math-Net.Ru подразумевает, что вы прочитали и согласны с пользовательским соглашением

<http://www.mathnet.ru/rus/agreement>

Параметры загрузки:

IP: 178.205.19.235

7 июня 2024 г., 16:15:52



На рисунке 2 приведены функции $F_m(t)$ из уравнения (5) для $m_0 = 1.5$, сплошная линия соответствует $m = 1$, пунктирная $m = 2$. На рисунках 3, 4 даны функции $\ddot{w}(\theta, t)$, определяющие ускорение некоторых точек оболочки при радиальном расширении полости с единичной скоростью. На рисунке 15 сопоставлены радиальные ускорения при смещении включения как твердого целого и как упругой оболочки.

Все расчеты по определению оригиналов по их изображениям проводились по методу Ю.С.Яковлева [1].

Число рассчитанных гармоник ($m = 0 + 6$) недостаточно для выявления "скачков", но достаточно для получения величины и времени наступления максимумов ускорений оболочки.

Проведенные расчеты позволяют отметить следующее:

1. Значение γ не оказывает существенного влияния на величину максимума $\ddot{w}(\theta, t)$.
2. Величина β почти не влияет на эпюру $\ddot{w}(\theta, t)$ в период $0 < t < 2$, а при $t > 2$ влияние β становится заметным, особенно для "тыльной" стороны оболочки.
3. Величина максимума $\ddot{w}(\theta, t)$ обратно пропорциональна m_0 .
4. Максимум $\ddot{w}(\theta, t)$ почти прямо пропорционален $\sqrt{l_0}$ и обратно пропорционален $\sqrt{v_0}$.

Л и т е р а т у р а

1. Л о б ы с е в В.Л., Я к о в л е в Ю.С. Метод асимптотически эквивалентных функций и его приложение к решению некоторых задач механики сплошных сред // Проблемы механики твердого деформируемого тела. - Л.: Судостроение, 1970. - С.239 - 250.

П.З.Луговой, В.Ф.Мейш

УТОЧНЕННАЯ МОДЕЛЬ ДИСКРЕТНО ПОДКРЕПЛЕННЫХ ПЛАСТИН И ОБОЛОЧЕК ПРИ НЕСТАЦИОНАРНЫХ НАГРУЗКАХ

В настоящей работе рассматривается динамическое поведение подкреплённых оболочек с учетом дискретного расположения ребер. Ребристая оболочка рассматривается как система, состоящая из собственно оболочки (обшивки) и соединённых с ней жестко по ли-

ниям контакта ребер (стрингеров и шпангоутов). Предполагается, что напряженно-деформированное состояние обшивки и подкрепляющих элементов может быть полностью определено в рамках теории тонких оболочек и криволинейных стержней Тимошенко [2]. Положение этих точек срединной поверхности обшивки определяется ее криволинейными ортогональными координатами α_1 , α_2 . Система координат выбирается так, что координатные линии совпадают с линиями кривизн срединной поверхности обшивки. Полагается, что ребра размещены вдоль координатных линий.

Деформированное состояние обшивки определяется обобщенным вектором перемещений $\bar{U} = (U, V, W, \varphi_1, \varphi_2)$. Для описания деформированного состояния ребер привлекаются следующие кинематические параметры: U_i, V_i, W_i и U_j, V_j, W_j — компоненты вектора перемещений центров тяжести их поперечных сечений соответственно для i -го ребра, направленного вдоль α_1 , и j -го ребра, направленного вдоль α_2 ; $\varphi_{1i}, \varphi_{kpi}, \varphi_{1j}, \varphi_{kpj}$ — углы поворота и кручения центров тяжести поперечного сечения i -го и j -го ребер.

Условия жесткого соединения ребер и обшивки позволяют установить зависимости между их компонентами перемещений и углов

$$\begin{aligned} U_i(\alpha_1) &= U(\alpha_1, \alpha_{2i}) + h_i \varphi_1(\alpha_1, \alpha_{2i}), \\ V_i(\alpha_2) &= V(\alpha_1, \alpha_{2i}) + h_i \varphi_2(\alpha_1, \alpha_{2i}), \\ U_j(\alpha_2) &= U(\alpha_{1j}, \alpha_2) + h_j \varphi_1(\alpha_{1j}, \alpha_2), W_i(\alpha_1) = W(\alpha_1, \alpha_{2i}), \\ V_j(\alpha_2) &= V(\alpha_{1j}, \alpha_2) + h_j \varphi_2(\alpha_{1j}, \alpha_2), W_j(\alpha_2) = W(\alpha_{1j}, \alpha_2), \\ \varphi_{1i}(\alpha_1) &= \varphi_1(\alpha_1, \alpha_{2i}), \varphi_{kpi}(\alpha_1) = \varphi_2(\alpha_1, \alpha_{2i}), \\ \varphi_{1j}(\alpha_2) &= \varphi_2(\alpha_{1j}, \alpha_2), \varphi_{kpj}(\alpha_2) = \varphi_1(\alpha_{1j}, \alpha_2), \end{aligned} \quad (I)$$

где $h_i = 0,5h + H_i$; $h_j = 0,5h + H_j$; H_i, H_j — расстояния от осей соответственно i -го и j -го ребер до поверхности обшивки; h — толщина обшивки; α_{1j}, α_{2i} — координаты линий сопряжения ребер с обшивкой.

При выводе уравнений движения, кроме представлений условий

контакта в виде (I), используется интегральная форма записи этих условий [I].

Для вывода уравнений движения применялся вариационный принцип стационарности Гамильтона – Остроградского. Полная потенциальная и кинетическая энергии подкрепленной оболочки представляются в виде следующих сумм:

$$\Pi = \Pi_0 + \sum_{i=1}^m \Pi_i + \sum_{j=1}^l \Pi_j, \quad K = K_0 + \sum_{i=1}^m K_i + \sum_{j=1}^l K_j, \quad (2)$$

где Π_0 , K_0 – потенциальная и кинетическая энергии обшивки, согласно теории тонких оболочек типа Тимошенко;

$$\begin{aligned} \Pi_i = & \int_{\alpha_1'}^{\alpha_1''} (T_{11i} \varepsilon_{11i} + T_{12i} \varepsilon_{12i} + T_{13i} \varepsilon_{13i} + \\ & + M_{12i} \varkappa_{12i} + M_{13i} \varkappa_{13i} + H_{kpi} \varkappa_{kpi}) A_i d\alpha_1, \\ \Pi_j = & \int_{\alpha_2'}^{\alpha_2''} (T_{11j} \varepsilon_{11j} + T_{12j} \varepsilon_{12j} + T_{13j} \varepsilon_{13j} + \\ & + M_{12j} \varkappa_{12j} + M_{13j} \varkappa_{13j} + H_{kpi} \varkappa_{kpi}) A_j d\alpha_2, \end{aligned} \quad (3)$$

$$\begin{aligned} K_i = & \frac{\rho_i F_i}{2} \int_{\alpha_1'}^{\alpha_1''} \left[\left(\frac{\partial u_i}{\partial t} \right)^2 + \left(\frac{\partial v_i}{\partial t} \right)^2 + \left(\frac{\partial w_i}{\partial t} \right)^2 + \right. \\ & \left. + \frac{I_{yi}}{F_i} \left(\frac{\partial \varphi_{ii}}{\partial t} \right)^2 + \frac{J_{kpi}}{F_i} \left(\frac{\partial \varphi_{kpi}}{\partial t} \right)^2 \right] A_i d\alpha_1, \\ K_j = & \frac{\rho_j F_j}{2} \int_{\alpha_2'}^{\alpha_2''} \left[\left(\frac{\partial u_j}{\partial t} \right)^2 + \left(\frac{\partial v_j}{\partial t} \right)^2 + \left(\frac{\partial w_j}{\partial t} \right)^2 + \right. \\ & \left. + \frac{I_{xj}}{F_j} \left(\frac{\partial \varphi_{ij}}{\partial t} \right)^2 + \frac{J_{kpi}}{F_j} \left(\frac{\partial \varphi_{kpi}}{\partial t} \right)^2 \right] A_j d\alpha_2, \end{aligned}$$

где ρ , ρ_i , ρ_j – плотности материала обшивки i -го и j -го подкрепляющих элементов; F_i , F_j , I_{yi} , I_{xj} , J_{kpi} , J_{kpi} – геометрические параметры поперечных сечений ребер.

Варьируя исходный функционал энергии с учетом соотношений (I) – (3) и интегральной формы записи условий контакта, имеем

следующие уравнения движения подкрепленной оболочки с учетом дискретности расположения ребер:

$$\begin{aligned}
 L_1(\bar{U}) + \sum_{i=1}^m \left(\frac{1}{A_1} \frac{\partial T_{11i}}{\partial \alpha_1} + T_{13i} k_{1i} \right) \delta(\alpha_2 - \alpha_{2i}) + \\
 + \sum_{j=1}^l \frac{1}{A_2} \frac{\partial T_{12j}}{\partial \alpha_2} \delta(\alpha_1 - \alpha_{1j}) + P_1 = \rho h \frac{\partial^2 u}{\partial t^2} + \\
 + \sum_{i=1}^m \rho_i F_i \frac{\partial^2 u_i}{\partial t^2} \delta(\alpha_2 - \alpha_{2i}) + \sum_{j=1}^l \rho_j F_j \frac{\partial^2 v_j}{\partial t^2} \delta(\alpha_1 - \alpha_{1j}), \\
 L_2(\bar{U}) + \sum_{i=1}^m \frac{1}{A_1} \frac{\partial T_{12i}}{\partial \alpha_1} \delta(\alpha_2 - \alpha_{2i}) + \\
 + \sum_{j=1}^l \left(\frac{1}{A_2} \frac{\partial T_{11j}}{\partial \alpha_2} + k_{1j} T_{13j} \right) \delta(\alpha_1 - \alpha_{1j}) + P_2 = \rho h \frac{\partial^2 v}{\partial t^2} + \\
 + \sum_{i=1}^m \rho_i F_i \frac{\partial^2 v_i}{\partial t^2} \delta(\alpha_2 - \alpha_{2i}) + \sum_{j=1}^l \rho_j F_j \frac{\partial^2 u_j}{\partial t^2} \delta(\alpha_1 - \alpha_{1j}), \quad (4) \\
 L_3(\bar{U}) + \sum_{i=1}^m \left(\frac{1}{A_1} \frac{\partial T_{13i}}{\partial \alpha_1} - T_{11i} k_{1i} \right) \delta(\alpha_2 - \alpha_{2i}) + \\
 + \sum_{j=1}^l \left(\frac{1}{A_2} \frac{\partial T_{13j}}{\partial \alpha_2} - k_{1j} T_{11j} \right) \delta(\alpha_1 - \alpha_{1j}) + P_3 = \rho h \frac{\partial^2 w}{\partial t^2} + \\
 + \sum_{i=1}^m \rho_i F_i \frac{\partial^2 w_i}{\partial t^2} \delta(\alpha_2 - \alpha_{2i}) + \sum_{j=1}^l \rho_j F_j \frac{\partial^2 w_j}{\partial t^2} \delta(\alpha_1 - \alpha_{1j}), \\
 L_4(\bar{U}) + \sum_{i=1}^m \left(h_i \frac{1}{A_1} \frac{\partial T_{11i}}{\partial \alpha_1} + \frac{1}{A_1} \frac{\partial M_{13i}}{\partial \alpha_1} - T_{13i} \right) \delta(\alpha_2 - \alpha_{2i}) + \\
 + \sum_{j=1}^l \left(h_j \frac{1}{A_2} \frac{\partial T_{12j}}{\partial \alpha_2} + \frac{1}{A_2} \frac{\partial M_{12j}}{\partial \alpha_2} + M_{12j} k_{1j} \right) \delta(\alpha_1 - \alpha_{1j}) = \rho \frac{h^3}{12} \frac{\partial^2 \varphi_1}{\partial t^2} +
 \end{aligned}$$

$$\begin{aligned}
& + \sum_{i=1}^m \rho_i (F_i k_i \frac{\partial^2 u_i}{\partial t^2} + I_{yi} \frac{\partial^2 \varphi_i}{\partial t^2}) \delta(\alpha_2 - \alpha_{2i}) + \sum_{j=1}^l \rho_j (F_j k_j \frac{\partial^2 v_j}{\partial t^2} + J_{kpi} \frac{\partial^2 \varphi_j}{\partial t^2}) \delta(\alpha_1 - \alpha_{1j}), \\
& L_5(\bar{U}) + \sum_{i=1}^m (k_i \frac{1}{A_i} \frac{\partial T_{12i}}{\partial \alpha_1} + \frac{1}{A_i} \frac{\partial M_{kpi}}{\partial \alpha_1} + M_{12i} k_{1i}) \delta(\alpha_2 - \alpha_{2i}) + \\
& + \sum_{j=1}^l (k_j \frac{1}{A_2} \frac{\partial T_{13j}}{\partial \alpha_2} + \frac{1}{A_2} \frac{\partial M_{13j}}{\partial \alpha_2} - T_{13j}) \delta(\alpha_1 - \alpha_{1j}) = \rho_{12} \frac{k^3}{12} \frac{\partial^2 \varphi_2}{\partial t^2} + \\
& + \sum_{i=1}^m \rho_i (F_i k_i \frac{\partial^2 v_i}{\partial t^2} + J_{kpi} \frac{\partial^2 \varphi_i}{\partial t^2}) \delta(\alpha_2 - \alpha_{2i}) + \sum_{j=1}^l \rho_j (F_j k_j \frac{\partial^2 u_j}{\partial t^2} + I_{xj} \frac{\partial^2 \varphi_j}{\partial t^2}) \delta(\alpha_1 - \alpha_{1j}).
\end{aligned}$$

В уравнениях (4) $L_i(\bar{U})$ — эллиптические дифференциальные операторы, соответствующие теории гладких оболочек типа Тимошенко.

Соотношения усилия-деформации перемещения для i -го подкрепляющего элемента имеют вид

$$\begin{aligned}
T_{11i} &= E_i F_i \varepsilon_{11i}, \quad M_{12i} = E_i I_{xi} \kappa_{12i}, \\
T_{12i} &= G_i F_i \varepsilon_{12i}, \quad M_{13i} = E_i I_{yi} \kappa_{13i}, \\
T_{13i} &= G_i F_i \varepsilon_{13i}, \quad M_{kpi} = G_i J_{kpi} \kappa_{kpi}, \\
\varepsilon_{11i} &= \frac{1}{A_i} \frac{\partial u_i}{\partial \alpha_1} + k_{1i} w_i, \quad \varepsilon_{12i} = \frac{1}{A_i} \frac{\partial v_i}{\partial \alpha_1}, \\
\varepsilon_{13i} &= \frac{1}{A_i} \frac{\partial w_i}{\partial \alpha_1} + \varphi_{1i} - k_{1i} u_i, \quad \kappa_{kpi} = \frac{1}{A_i} \frac{\partial \varphi_{kpi}}{\partial \alpha_1}, \\
\kappa_{12i} &= -k_{1i} \varphi_{kpi}, \quad \kappa_{13i} = \frac{1}{A_i} \frac{\partial \varphi_{1i}}{\partial \alpha_1}.
\end{aligned} \tag{5}$$

Соответственно выписываются соотношения усилия-деформации перемещения для j -го подкрепляющего элемента.

Для решения уравнений движения (4) при соответствующих граничных условиях применяется метод конечных разностей. Построение разностных схем основано на использовании интегро-интерполяционного метода [5]. Применяется неравномерная разностная сетка со сгущением вблизи расположения ребер. Конечно-разностная схема аппроксимирует исходную дифференциальную задачу с погрешностью

$0[\tau^2 + \max(\Delta\alpha_{1k}) + \max(\Delta\alpha_{2k})]$, где $\tau, \Delta\alpha_{1k}, \Delta\alpha_{2k}$ - временной и пространственные шаги дискретизации непрерывной области. Такой подход реализован в работе [3] при рассмотрении динамического поведения подкрепленной цилиндрической оболочки при неосесимметричной нагрузке и в [4], где рассматривается подкрепленная сферическая оболочка при действии осесимметричной нестационарной нагрузки. Тестовые расчеты показали хорошее совпадение результатов расчета.

В качестве числового примера рассматривается динамическое поведение подкрепленной консольной ортотропной цилиндрической оболочки при действии нестационарной нагрузки, приложенной к свободному торцу. Предполагается, что оболочка подкреплена шпангоутами. Граничные условия запишутся в виде

$$x=0: T_{11} = P(t), Q_{13} = 0, M_{11} = 0; x=L: U = W = \varphi_1 = 0.$$

Нагрузка $P(t)$ задается в виде

$P(t) = A \sin(\pi t/T)$ при $t \leq T$; $P(t) = 0$ при $t > T$;
 $T = 50 \cdot 10^{-6}$ с; $A = 10^6$ Па. Физико-механические и геометрические параметры оболочки и ребер следующие: $E_{11} = 1,1 \cdot 10^{11}$ Па; $E_{22} = 9,5 \cdot 10^9$ Па; $G_{13} = 5,10 \cdot 10^9$ Па; $\nu = 0,297$; $\rho = \rho_j = 1,5 \cdot 10^3$ кг/м³; $E_j = E_{22}$; $h = 5 \cdot 10^{-3}$ м; $L = 0,5$ м; $R = 0,1$ м; $F_j = 4 \cdot 10^{-4}$ м²; $l = 2$; $h_j = (h + 2H_j)/2$; $2H_j = 2 \cdot 10^{-2}$ м; $x_j = 0,2L + (j - 1)0,6L$; $j = 1, 2$.

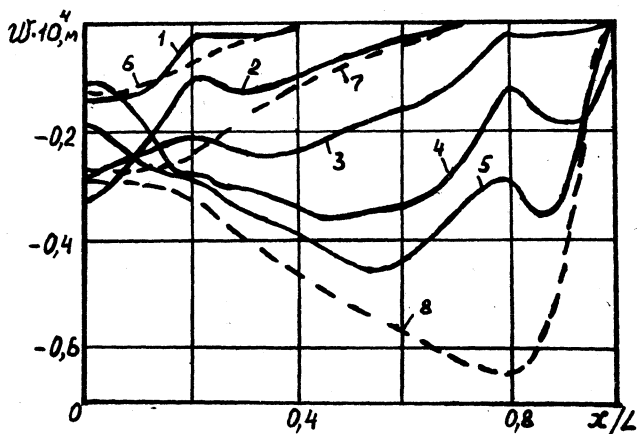


Рис. I

На рисунке I представлены зависимости прогиба W от пространственной координаты X для различных моментов времени. Сплошные линии соответствуют прогибам оболочки с ребрами, а пунктирные — такой же оболочке без ребер; кривые 1 — 5 — временам $t = [40 + (i - 1) 20] \cdot 10^{-6}$ с, $i = \overline{1, 5}$; кривые 6 — 8 — временам $t = 40 \cdot 10^{-6}$, $t = 60 \cdot 10^{-6}$, $t = 1,2 \cdot 10^{-4}$ с. В местах расположения ребер прогибы более чем в два раза меньше по сравнению с гладкой оболочкой. На графиках отчетливо прослеживается значительное влияние ребер на характер колебаний подкрепленной оболочки. Шпангоут, установленный в непосредственной близости от защемленного края, служит как бы волноломом, за счет которого резко снижается эффект отражения от жесткой заделки.

Л и т е р а т у р а

1. Амиро И.Я., Заруцкий В.А. Методы расчета оболочек. Т.2. Теория ребристых оболочек. — Киев: Наукова думка, 1980. — 368 с.
2. Григолюк Э.И., Селезов И.Т. Неклассические теории колебаний стержней, пластин и оболочек. М., 1973. — 272 с.
3. Луговой П.З., Мейш В.Ф. Неосесимметричные колебания ребристой цилиндрической оболочки с учетом сдвиговых деформаций // Прикладная механика. — 1989. — Т.25. — № 5. — С.50 — 55.
4. Луговой П.З., Мейш В.Ф. Исследование ребристых взрывных камер при импульсной обработке материалов // Сопротивление материалов и теория сооружений. — 1989. — Вып. 54. — С.79 — 82.
5. Самарский А.А. Теория разностных схем. — М.: Наука, 1977. — 656 с.

В.Н.Пилипчук

ОБ ОСОБЕННОСТЯХ РАЗДЕЛЕНИЯ ДВИЖЕНИЙ В ЗАДАЧАХ НЕЛИНЕЙНОЙ ДИНАМИКИ ГИБКИХ УПРУГИХ КОНСТРУКЦИЙ

Предлагается метод разделения движений для нелинейных уравнений динамики гибких упругих конструкций типа пологих оболочек. Составляющие движения, связанные с изгибаниями и деформациями